



مقاله علمی-پژوهشی

تأثیر روش‌های دی اکسید کربن فوق بحرانی و مایکروویو بر استخراج ترکیبات زیست‌فعال از دانه خارمریم

محدثه یوسفی<sup>۱</sup>، ماندانابی مکر<sup>۲\*</sup>، سید محمد قریشی<sup>۳</sup>، علی گنجلو<sup>۴</sup>

۱- کارشناس ارشد فناوری مواد غذایی، گروه علوم و مهندسی صنایع غذایی، دانشکده کشاورزی، دانشگاه زنجان، زنجان، ایران

۲- دانشیار گروه علوم و مهندسی صنایع غذایی، دانشکده کشاورزی، دانشگاه زنجان، زنجان، ایران

۳- استاد گروه مهندسی شیمی، دانشکده مهندسی شیمی، دانشگاه صنعتی اصفهان، ایران

چکیده

اطلاعات مقاله

تاریخ های مقاله :

تاریخ دریافت: ۱۴۰۱/۱۱/۲۰

تاریخ پذیرش: ۱۴۰۲/۱۰/۳۰

کلمات کلیدی:

خارمریم،

ترکیبات زیست فعال،

دی اکسید کربن فوق بحرانی،

حلال به کمک مایکروویو.

DOI: 10.22034/FSCT.21.148.30.

مسئول مکاتبات: \*

mandana.bimakr@znu.ac.ir

در پژوهش حاضر، تأثیر روش‌های نوین استخراج دی اکسید کربن فوق بحرانی ( $SC\text{-}CO_2$ ) و حلال به کمک مایکروویو (MAE) و هم چنین روش سنتی سوکسله (CSE) بر استخراج ترکیبات زیست‌فعال از دانه گیاه دارویی خارمریم مورد مطالعه قرار گرفت. بالاترین مقدار عملکرد کمی ( $15 \pm 0.10$  درصد) با استفاده از روش CSE به دست آمد. در حالی که، کارایی روش‌های  $SC\text{-}CO_2$  و MAE به ترتیب در حدود ۸۹ و ۵۰ درصد روش سوکسله بود. بالاترین میزان توانایی مهار رادیکال‌های آزاد  $\cdot DPPH$  و  $\cdot HO$  توسط ترکیبات زیست‌فعال حاصل از روش  $SC\text{-}CO_2$  مشاهده گردید. نتایج حاصل از اندازه‌گیری محتوای فنول کل نشان داد که بیشترین ( $14 \pm 0.18$  میلی‌گرم معادل گالیک اسید بر گرم) و کمترین ( $14 \pm 0.50$  میلی‌گرم معادل گالیک اسید بر گرم) مقدار به ترتیب مربوط به ترکیبات حاصل از روش‌های  $SC\text{-}CO_2$  و CSE می‌باشد. پروفایل اسید چرب با استفاده از دستگاه گاز کروماتوگرافی-آشکارساز جرمی شناسایی گردید. اسیدهای چرب لینولئیک اسید و اولنیک اسید به عنوان اسیدهای چرب غالب شناسایی شدند. به صورت کلی می‌توان اذعان نمود که دانه گیاه خارمریم منبع غنی از ترکیبات زیست‌فعال می‌باشد که استفاده از تکنیک‌های نوین  $SC\text{-}CO_2$  و MAE می‌توانند جایگزین‌های امیدوار کننده‌ی روش سنتی جهت استحصال ترکیبات ارزشمند آن باشند.

## ۱- مقدمه

فعال از منابع گیاهی توجه زیادی را به خود جلب کرده است [۱].

روش سنتی سوکسله<sup>۱</sup> (CSE) یک روش استاندارد و مرجع برای ارزیابی عملکرد سایر روش‌های استخراج است که همچنان مورد استفاده قرار می‌گیرد [۱، ۲]. در سال‌های اخیر، استخراج با استفاده از سیال فوق بحرانی<sup>۲</sup> (SFE) به عنوان یک روش جایگزین امیدبخش برای فناوری‌های مرسوم در جداسازی ترکیبات مختلف با ارزش بالا از منابع طبیعی مورد توجه قرار گرفته است [۳، ۴]. این واقعیت به این خاطر است که این روش معمولاً در دماهای پایین، با زمان استخراج کوتاه و مقدار کمی از حلال در مقایسه با دیگر روش‌های استخراج که به مدت زمان طولانی، مقادیر زیاد حلال و دماهای بالا نیاز دارد، انجام می‌شود [۵، ۶]. علاوه بر این، قدرت حلالیت سیال فوق بحرانی را می‌توان با تغییر فشار و/ یا دما کنترل نمود. چندین ترکیب به عنوان حلال‌های SFE انتخاب شده‌اند. برای مثال می‌توان به هیدروکربن‌هایی نظیر هگزان، پتان، بوتان، مونوکسید نیتروژن، سولفور هگزا فلوراید و هیدروکربن‌های مرکب با فلوئور اشاره نمود. با این حال دی اکسید کربن به دلیل ایمن بودن، ارزانی و قابل دسترس بودن بیش از سایر حلال‌ها مورد توجه قرار گرفته است [۷، ۸]. علاوه بر این، ترکیبات استخراج شده با استفاده از دی اکسید کربن فوق بحرانی<sup>۳</sup> (SC-CO<sub>2</sub>) به طور کلی به عنوان ایمن<sup>۴</sup> (GRAS) جهت استفاده در مواد غذایی به رسمیت شناخته شده است [۹]. تاکنون در مطالعات متعددی از این فناوری برای بازیابی ترکیبات زیست‌فعال استفاده شده است که وابسته به شرایط فرایند، نوع ماده اولیه و هم‌چنین ترکیب هدف نتایج مختلفی پیرامون اثربخشی این روش بر استخراج کمی و کیفی به دست آمده است [۱۰، ۱۱].

براساس مطالعات انجام شده آمار مرگ‌ومیر ناشی از انواع سلطان به دلایل مختلف از جمله آلودگی‌های محیط زیست، تغذیه نامناسب، زندگی همراه با استرس و عدم توجه به فعالیت‌های مناسب جسمانی که ناشی از فعالیت رادیکال‌های آزاد است، همواره رو به افزایش است. نظر به این‌که گیاهان منبع ترکیبات ضد اکسایش طبیعی می‌باشند، تحقیقات در زمینه تولید عصاره‌های گیاهی جهت استفاده در صنایع داروسازی، غذایی، بهداشتی و آرایشی مورد توجه محققین صنایع غذایی و دارویی می‌باشد [۱]. گیاه خارمریم با نام علمی *Silybum marianum* متعلق به تیره کاسنیان است که به عنوان گیاه مرتعی، دارویی به صورت یکساله در نقاط مختلف ایران به صورت خودرو رشد می‌کند. خارمریم یا ماریتیغال از گیاهان دارویی طب سنتی اروپا نیز به شمار می‌آید. در قرن چهارم قبل از میلاد مسیح از این گیاه برای درمان بیماری‌های کبد، طحال و سنگ مثانه استفاده می‌شده است. موارد مصرف این گیاه به صورت غذایی محدود می‌باشد و اهمیت اصلی آن به دلیل کاربرد گسترده دارویی آن می‌باشد. با این وجود در برخی از مناطق جهان برگ‌های سبز و ساقه‌های جوان این گیاه به صورت خام در سالاد یا به صورت پخته مصرف می‌شود. هم‌چنین از برگ‌های خشک شده آن دمنوش تهیه و مصرف می‌شود. لذا کشت این گیاه به عنوان یک محصول دارویی ارزشمند جهت استخراج ترکیبات موثره آن در سالیان اخیر مورد توجه قرار گرفته است [۲]. این گیاه حاوی ترکیبات ارزشمند زیست‌فعال نظیر فنول‌ها است. استخراج یک قدم مهم به منظور جداسازی ترکیبات زیست‌فعال از منابع گیاهی است و از آنجایی که عملکرد کمی و کیفی ترکیبات به دست آمده تحت تأثیر عوامل مختلفی از جمله روش استخراج به کار گرفته شده است، لذا مطالعه پیرامون روش‌های استخراج ترکیبات زیست

3 -Supercritical Carbon Dioxide

4 -Generally Recognized as Safe

1 -Conventional Soxhlet Extraction

2 -Supercritical Fluid Extraction

## ۲-۲- استخراج با روش سنتی سوکسله (CSE)

به منظور انجام فرایند استخراج ترکیبات زیست فعال از دانه خارمریم با روش سنتی سوکسله (CSE)، ابتدا مقدار معینی از نمونه و حلال هیدرواتانولی (۸۰ درصد حجمی/حجمی) با رعایت نسبت ۱:۲۰ (وزنی/حجمی) آماده شد و در دستگاه سوکسله قرار گرفت. فرایند استخراج به مدت ۶ ساعت انجام شد. پس از اتمام فرایند استخراج، عصاره به دست آمده به منظور حذف حلال در دستگاه تبخیر کننده چرخان تحت خلاء در دمای ۴۰ درجه سلسیوس قرار داده شد و پس از آن به مدت ۱ ساعت در آون جهت حذف کامل حلال قرار گرفت. از عصاره خشک شده برای انجام آزمون‌های بعدی استفاده گردید.

## ۲-۳- استخراج توسط دی اکسید کربن فوق بحرانی (SC-CO<sub>2</sub>)

برای انجام فرایند استخراج ترکیبات زیست فعال به روش دی اکسید کربن فوق بحرانی (SC-CO<sub>2</sub>) مقدار معینی (۳ گرم) از نمونه‌ی آماده شده در محفظه مخصوص استخراج قرار گرفت. در این روش استخراج، شیر تنظیم کننده فشار برگشتی در فشار معین تنظیم شد و دی اکسید کربن به عنوان حلال توسط پمپ برای استخراج آماده گردید. دما و فشار فرایند به ترتیب معادل ۵۵ درجه سلسیوس و ۱۶ مگاپاسکال در نظر گرفته شد. انتخاب سطوح بر اساس آزمایشات اولیه می‌باشد. طرح شماتیک این دستگاه در شکل ۱ ارائه شده است. این دستگاه شامل کپسول حاوی گاز دی اکسید کربن، غربال مولکولی، سردکن گردشی، پمپ فشار بالا مخصوص دی اکسید کربن، شیر ورودی، گرمخانه، ستون استخراج، شیر تنظیم کننده فشار برگشتی و ظرف جمع‌آوری نمونه است. پس از اتمام فرایند استخراج به مدت ۴۰ دقیقه، عصاره به دست آمده به منظور حذف حلال در دستگاه تبخیر کننده چرخان تحت خلاء در دمای ۴۰ درجه سلسیوس قرار داده شد و پس از آن به مدت ۱ ساعت در آون جهت حذف کامل حلال قرار

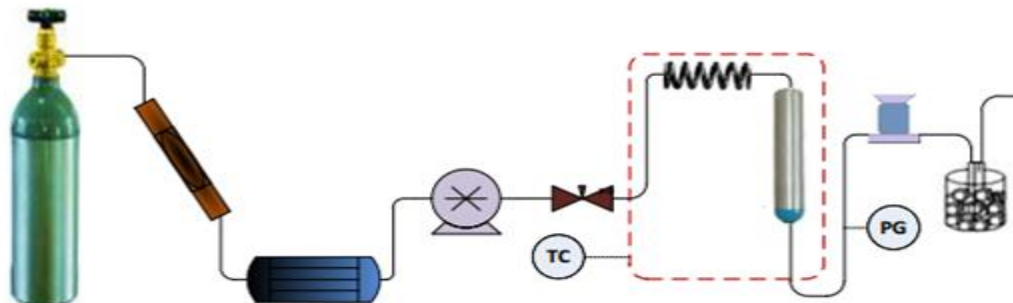
روش استخراج حلال به کمک مایکروویو<sup>۵</sup> (MAE) از دیگر روش‌های نوین و مطلوب جهت استخراج ترکیبات زیست فعال از منابع گیاهی می‌باشد. در میان روش‌های جدید، این روش استخراج به دلیل راندمان مناسب بازیابی، سازگاری با محیط زیست، هزینه پایین، کاهش زمان بازیابی و سهولت استفاده در مقیاس بزرگ یا کوچک، یکی از بهترین روش‌ها برای استخراج ترکیبات زیست فعال می‌باشد. در مطالعات متعددی نیز از این روش برای استخراج ترکیبات زیست فعال استفاده شده است [۱۵-۱۶]. هم‌چنین، چن و همکاران [۱۶] در مطالعه‌ای جامع به مرور تحقیقات انجام شده پیرامون استفاده از این روش برای استخراج ترکیبات مختلف از منابع متفاوت پرداخته‌اند. در مطالعه‌ای، ماگدالنا و همکاران [۱۷] به بررسی تاثیر روش MAE و مقایسه آن با روش سنتی بر استحصال ترکیبات زیست فعال از دانه خارمریم پرداختند. لازم به توضیح است که تاثیر فرایند استخراج تابع تغییرات متغیرهای مستقل است و می‌تواند تاثیر به سزاوی بر بهبود فرایند داشته باشد. با توجه به اینکه گیاه خارمریم از ارزش دارویی بالایی برخوردار است و هم‌چنین روش‌های SC-CO<sub>2</sub> و MAE روش‌های استخراج امیدبخش محسوب می‌شوند هدف این مطالعه بررسی تاثیر روش‌های مذکور بر جداسازی ترکیبات ارزشمند حیاتی از این گیاه بود. هم‌چنین، این مطالعه می‌تواند به عنوان پایگاه اطلاعاتی داده‌های لازم جهت صنعتی کردن فرایند استخراج محسوب شود. به علاوه، جهت درک جامع‌تر، نتایج آنها با روش متداول سوکسله مقایسه گردید.

## ۲- مواد و روش‌ها

### ۲-۱- مواد

دانه گیاه دارویی خارمریم از بازار محلی واقع در شهر اصفهان، ایران خریداری گردید. نمونه‌ها پس از تمیز شدن توسط دستگاه آسیاب آزمایشگاهی خرد و پس از تعیین اندازه تا زمان انجام آزمایش در داخل فریزر با دمای -۱۸ درجه سلسیوس نگهداری شد.

گرفت. از عصاره خشک شده برای انجام آزمون‌های بعدی استفاده گردید.



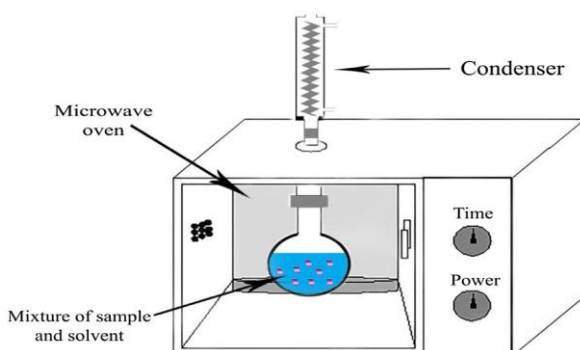
**Fig 1.** Schematic diagram of supercritical fluid extractor [33, 38]

شده برای انجام آزمون‌های بعدی استفاده گردید. طرح

شماییک دستگاه در شکل ۲ آورده شده است.

#### ۴-۲- استخراج به کمک مایکروویو (MAE)

برای انجام فرایند استخراج ترکیبات زیست‌فعال به روش حلال به کمک مایکروویو (MAE)، ابتدا مقدار معینی از نمونه و حلal هیدرواتانولی (۸۰ درصد حجمی/حجمی) با رعایت نسبت ۱:۲۰ (وزنی/حجمی) آماده شد و در دستگاه استخراج گر مایکروویو قرار گرفت. فرایند استخراج تحت شرایط قدرت ۲۰۰ وات و زمان ۱۲ دقیقه انجام شد. انتخاب سطوح بر اساس آزمایشات اولیه صورت پذیرفت. پس از اتمام فرایند نمونه از کاغذ صافی عبور داده شد. در ادامه، عصاره به دست آمده بهمنظور حذف حلال در دستگاه تبخير کننده چرخان تحت خلاء در دمای ۴۰ درجه سلسیوس قرار داده شد و پس از آن به مدت ۱ ساعت در آون جهت حذف کامل حلال قرار گرفت. از عصاره خشک



**Fig 2.** Schematic diagram of microwave assisted extractor

میلی لیتر سالسیلیک اسید و ۱ میلی لیتر هیدروژن پراکسید مخلوط شد. سپس در حمام آب ۳۷ درجه سلسیوس به مدت ۱ ساعت قرار گرفت و میزان جذب در طول موج ۵۲۰ نانومتر توسط دستگاه طیفسنج نور مرئی - ماوراء بنفش ۲۵۰ SPECORD ساخت کشور آلمان قرائت و میزان مهار رادیکال‌های آزاد هیدروکسیل از معادله ۳ محاسبه شد [۱۹].

$$\%Hosc = \frac{A_b - A_s}{A_b} \times 100 \quad (3)$$

در این معادله،  $A_b$  جذب شاهد و  $A_s$  جذب نمونه است.

**۴-۵-۲- اندازه‌گیری محتوای ترکیبات فنولی کل**  
محتوای ترکیبات فنولی کل عصاره‌ها با استفاده از روش فولین-سیکالتو اندازه‌گیری شد. بدین منظور ۱۰۰ میکرولیتر عصاره رقیق شده با اتانول (با رعایت غلظت ۱/۰ گرم بر میلی لیتر) و ۰/۷۵ میلی لیتر از شناساگر فولین-سیکالتو (رقیق شده با آب مقطر با نسبت ۱:۱۰ وزنی/حجمی) مخلوط شد و به مدت ۵ دقیقه در دمای اتاق قرار گرفت. سپس ۰/۷۵ میلی لیتر محلول سدیم کربنات ۶ درصد (وزنی/حجمی) به مخلوط اضافه شده و به آرامی همزده شد. پس از نگهداری به مدت ۹۰ دقیقه در دمای اتاق، میزان جذب در طول موج ۵۱۷ نانومتر توسط دستگاه طیفسنج نور مرئی - ماوراء بنفش ۲۵۰ SPECORD ساخت کشور آلمان قرائت شد [۲۰].

**۴-۵-۳- آماده‌سازی متیل استرهای اسید چرب<sup>۶</sup> (FAME)**

بدین منظور نمونه‌های مورد آزمون ابتدا به دمای ۵۰-۵۵ درجه سلسیوس رسانده شدند و سپس با استفاده از دستگاه ورتكس یکنواخت شدند. مقدار ۱۰۰ میکرولیتر از نمونه با ۱ میلی لیتر هگزان مخلوط گردید. سپس مقدار ۱۰ میکرولیتر سدیم متوكسید (۲ نرمال) به نمونه‌ها اضافه شد. نمونه برداری به مقدار لازم از لایه شفاف بالایی جهت تزریق به دستگاه گاز کروماتوگرافی مجهز به آشکار ساز جرمی<sup>۷</sup> (GC-MS) انجام پذیرفت [۲۱].

**۵-۲- تعیین ویژگی‌های کمی و کیفی ترکیبات**

**زیست‌فعال بازیابی شده**

**۱-۵-۱- تعیین عملکرد کمی**  
برای تعیین عملکرد کمی با استفاده از روش‌های مختلف از معادله ۱ استفاده شد [۱۸].

(۱)

$\left( \frac{m_2}{m_1} \right) \times 100 = \text{درصد عملکرد بازیابی}$   
 $m_1$ : وزن نمونه قبل از فرایند بازیابی بحسب گرم،  $m_2$ : وزن عصاره به دست آمده بر حسب گرم  
**۲-۵-۲- اندازه‌گیری میزان ظرفیت ضد رادیکالی به روش ۲ و ۲-دی فیل ۱-پیکریل هیدرازیل (DPPH)**  
میزان فعالیت ضد رادیکالی ترکیبات زیست‌فعال به دست آمده از دانه گیاه خارمریم طبق روش پودی و همکاران [۱۸] اندازه‌گیری شد. به منظور انجام آزمایش ابتدا ۰/۱ میلی لیتر از عصاره رقیق شده در اتانول (با رعایت غلظت DPPH ۰/۱ گرم بر میلی لیتر) به ۲/۹ میلی لیتر محلول DPPH اتانولی اضافه گردید. نمونه به مدت ۳۰ ثانیه مخلوط گردید. در ادامه پس از ۳۰ دقیقه نگهداری در محل تاریک میزان جذب در طول موج ۵۱۷ نانومتر توسط دستگاه طیفسنج نور مرئی - ماوراء بنفش ۲۵۰ SPECORD ساخت کشور آلمان قرائت شد و در نهایت درصد مهار رادیکال‌های آزاد DPPH توسط ترکیبات زیست‌فعال خارمریم با استفاده از معادله ۲ محاسبه گردید:

(۲)

$$\left( \frac{A_b - A_s}{A_b} \right) \times 100 = \text{درصد مهار رادیکال‌های آزاد}^{\circ}$$

در این معادله،  $A_b$  جذب شاهد و  $A_s$  جذب نمونه است.

**۲-۵-۳- لندازه‌گیری میزان فعالیت ضد رادیکالی به روش هیدروکسیل (HO)**

برای بررسی میزان مهار رادیکال‌های آزاد هیدروکسیل توسط ترکیبات بازیابی شده از دانه گیاه خارمریم ابتدا ۱ میلی لیتر از نمونه آمده شده (رقیق شده با اتانول با نسبت ۱:۱۰ وزنی/حجمی) با ۱ میلی لیتر فروس سولفات و ۱

نتایج در شکل ۳ آورده شده است. نتایج نشان دهنده توانایی متفاوت روش‌های مورد مطالعه برای جداسازی ترکیبات زیستفعال از دانه خارمیریم است. بالاترین مقدار عملکرد کمی بازیابی ترکیبات زیستفعال توسط روش سوکسله SC- $\text{CO}_2$  به دست آمد ( $15\pm 40/22$  درصد). کارایی روش‌های سوکسله بود. در مطالعه‌ای حسنلو و همکاران [۲۲] مقدار عملکرد کمی استخراج ترکیبات زیستفعال از دانه خارمیریم با استفاده از روش حرارت‌دهی را معادل ۲۵ درصد گزارش دادند. اختلاف بین نتایج کمی آنها با نتایج به دست آمده در مطالعه حاضر می‌تواند ناشی از اختلاف واریته، شرایط آب و هوایی، درجه رسیدگی و همچنین نوع روش استخراج باشد [۲۳]. شایان ذکر است که افزایش میزان عملکرد کمی در روش سوکسله می‌تواند ناشی از استحصال ترکیبات ناخواسته و غیرفنولی باشد که سبب افزایش کمی عصاره نهایی خواهد شد. به صورت کلی، در روش سوکسله اعمال مدت زمان طولانی مجاورت با دمای بالا سبب تخریب ترکیبات هدف و خروج ترکیبات نامطلوب از ساختار سلولی خواهد شد. نتایج مشابهی توسط بی‌مکر و همکاران [۷] گزارش گردیده است. آنها نیز در مطالعه‌ای به بررسی تاثیر روش‌های دی‌اکسیدکربن فوق بحرانی و سوکسله بر استخراج ترکیبات فنولی از برگ *Mentha spicata* پرداختند. مقدار بالاتر راندمان خام با استفاده از روش سوکسله حاصل گردید که ناشی از استخراج ترکیبات غیرفنولی و ناخواسته بود. از دیگر عوامل موثر می‌توان به مدت زمان فرایند استخراج اشاره نمود که در مطالعه حاضر برای روش‌های استخراج SC- $\text{CO}_2$  و CSE به ترتیب معادل ۴۰ دقیقه، ۱۲ دقیقه و ۶ ساعت در نظر گرفته شده است. فرایند طولانی تر و در نتیجه مجاورت طولانی تر نمونه با حلال می‌تواند نهایتاً سبب افزایش در عملکرد کمی فرایند گردد.

به صورت کلی، طی فرایند استخراج، حلال به درون مواد گیاهی انتشار یافته و ترکیبات با قطبیت مشابه را در خود

## ۶-۵-۶- تجزیه و تحلیل با استفاده از دستگاه گاز کروماتوگرافی مجهر به آشکار ساز جرمی

تعیین نوع اسیدهای چرب مطابق روش بی‌مکر و همکاران [۲۱] با اعمال برخی تغییرات جزئی صورت گرفت. به منظور تعیین متیل استر اسیدهای چرب، از دستگاه گاز کروماتوگرافی متصل به آشکار ساز جرمی مجهر به ستون مؤین سیلیکاتی با طول ۶۰ متر و قطر ۰/۲۵ میلی متر با ضخامت فیلم ۰/۲۵ میکرومتر استفاده شد. دمای اولیه آون ۸۰ درجه سلسیوس بود که با برنامه ریزی دمایی با افزایش ۱۵ درجه سلسیوس در دقیقه به دمای ۲۰۰ درجه سلسیوس رسید و به مدت ۵ دقیقه در این دما نگهداری شد. در ادامه با افزایش ۳۰ درجه سلسیوس به دمای ۲۳۰ درجه سلسیوس رسید و به مدت ۱۰ دقیقه در این دما نگهداری شد. دمای دریچه تزریق معادل ۲۲۰ درجه سلسیوس تنظیم گردید. از گاز هلیوم با سرعت جریان ۰/۷ میلی لیتر در دقیقه به عنوان گاز حامل استفاده گردید.

## ۶-۶- تجزیه و تحلیل آماری

داده‌های تجربی به دست آمده از روش‌های استخراج SC- $\text{CO}_2$ ، CSE و MAE به روش تجزیه و تحلیل واریانس با استفاده از مدل خطی تعمیم یافته<sup>۸</sup> و مقایسه میانگین‌ها به روش آزمون توکی در سطح اطمینان ۹۵ درصد به کمک Minitab Version 14.0 (Minitab Inc. State College, PA, USA) رسم نمودارها از نرم افزار اکسل نسخه ۲۰۱۳ استفاده شد. تمام آزمایشات با حداقل سه تکرار صورت پذیرفت و داده‌ها به صورت میانگین ± انحراف معیار گزارش گردید.

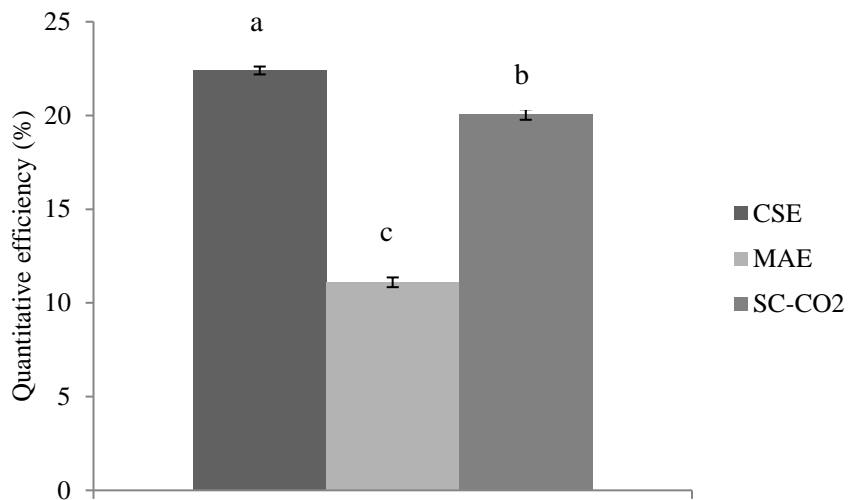
## ۳- نتایج و بحث

### ۳-۱- بررسی تاثیر روش‌های مورد مطالعه بر عملکرد کمی

مقدار عملکرد کمی استخراج ترکیبات زیستفعال به دست آمده از دانه گیاه خارمیریم تحت تاثیر روش‌های بازیابی مختلف شامل SC- $\text{CO}_2$ ، CSE و MAE بررسی گردید و

از حلال می‌تواند سبب افزایش عملکرد کمی استخراج گردد. به علاوه اینکه افزایش دما باعث نفوذ سریع تر حلال به دیواره سلولی ماتریکس گیاهی و بازده بازیابی بالاتر می‌شود [۱۵، ۲۸]. در راستای تاثیر روش  $\text{SC}-\text{CO}_2$ ، می‌توان بیان نمود که به هر ماده‌ای که فشار و دمای آن بالاتر از نقطه بحرانی باشد سیال فوق بحرانی اطلاق می‌شود. در این حالت فازهای گاز و مایع از یکدیگر متمایز نیستند. سیالات فوق بحرانی نظیر دی اکسید کربن فوق بحرانی از نظر انحلال‌پذیری مانند مایعات و از نظر خواص انتقالی و نفوذ مانند گازها رفتار می‌کنند، در نتیجه سیالات فوق بحرانی به راحتی در جامدات متخلخل نفوذ می‌کنند. انحلال گزینشی و جداسازی کامل حلال و حل شونده از مزایای دیگر سیالات نیز بسیار نزدیک به صفر است و به همین دلیل توانایی نفوذ زیادی در ساختارهایی با مجاری باریک در مقیاس میکرو و نانو را دارند [۳، ۴]. طبق نتایج حاصل، عملکرد کمی عصاره‌های به دست آمده تحت تاثیر روش‌های مختلف استخراج است که این یافته با نتایج بیان شده توسط رضازاده و همکاران [۲۹] مطابقت دارد. در مطالعه‌ای دیگر، موسوی و همکاران [۳۰] به بررسی تاثیر روش‌های مختلف بر استخراج ترکیبات زیست‌فعال از برگ فیجووا پرداختند. آنها نیز گزارش دادند که بالاترین مقدار عملکرد کمی با استفاده از روش سوکسله قابل دستیابی است و مقادیر کمتر با استفاده از دی اکسید کربن فوق بحرانی قابل دستیابی است.

حل می‌نماید. فعالیت‌های بیولوژیکی ترکیبات استحصال شده به نوع و میزان ترکیبات استخراج شده و نسبت میزان مواد استخراجی به یکدیگر بستگی دارد [۳، ۱]. ترکیبات هدف به طور کلی در فضای بین سلولی در یک ساختار پیچیده متشکل از سلول‌ها، فضای بین سلولی و منافذ درون سلولی قرار دارند. دیواره سلولی از موانع اصلی استخراج این ترکیبات از ساختار گیاهان است. بنابراین افزایش نفوذپذیری دیواره سلولی نقش مهمی در افزایش راندمان و سرعت استخراج دارد. در روش سنتی سوکسله مجاورت نمونه برای مدت زمان‌های طولانی با دمای بالا سبب رهایش ترکیبات هدف از سلول گیاهی به محیط اطراف می‌شود [۲۵]. در روش MAE هنگامی که نمونه در معرض مایکروویو قرار می‌گیرد، مکانیسم‌های اصلی برای تولید حرارت توسط مایکروویو چرخش دو قطبی<sup>۹</sup> و هدایت یونی<sup>۱۰</sup> می‌باشند. هدایت یونی در اثر حرکت یون‌ها در پاسخ به میدان الکتریکی ایجاد می‌شود. میدان الکتریکی موجب انتقال انرژی جنبشی به یون‌ها می‌شود. در اثر برخورد یون‌ها با یکدیگر انرژی جنبشی به حرارت تبدیل می‌شود. در چرخش دوقطبی، زمانی که مولکول‌های قطبی در معرض مایکروویو قرار می‌گیرند، تلاش می‌کنند جهت‌گیری خود را در مسیر میدان تغییر دهنده و همین امر موجب ایجاد اصطکاک بین مولکول‌ها و تولید حرارت می‌شود. آب مهم‌ترین مولکول قطبی موجود در مواد بیولوژیکی می‌باشد که محتوای آن در میزان گرمایش توسط مایکروویو تاثیر زیادی دارد [۲۶، ۲۷]. در بازیابی به کمک مایکروویو، هدف از گرم کردن مواد گیاهی خشک، گرم کردن آب باقیمانده موجود در سلول‌های گیاهی است. گرم شدن در این روش باعث تبخیر مقدار کم رطوبت موجود در سلول ماده گیاهی خشک می‌شود و فشار زیادی بر دیواره سلولی وارد می‌کند. دیواره سلولی در اثر این فشار ضعیف شده و می‌شکند. به این ترتیب، خروج ترکیبات زیست‌فعال از سلول آسیب دیده اتفاق می‌افتد و به افزایش بازده بازیابی ترکیبات هدف کمک می‌کند. هم‌چنین استفاده

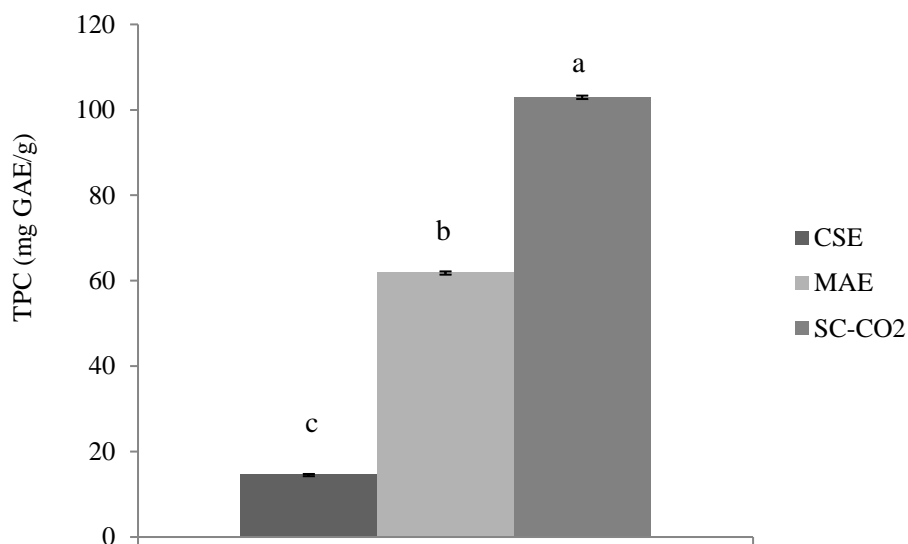
**Fig 3.** Effect of different extraction techniques of MAE, SC-CO<sub>2</sub> and CSE on quantitative efficiency

ترکیبات فنولی کل حاصل از دانه خارمریم را ۲۹ میلی گرم معادل گالیک اسید بر گرم گزارش دادند. اختلاف موجود بین نتایج مطالعه حاضر با یافته‌های آنها می‌تواند ناشی از تفاوت در روش‌های بازیابی ترکیبات زیست‌فعال و ویژگی‌های فیزیولوژیکی دانه باشد [۲۳].

پیرامون تاثیرگذاری روش MAE، در مطالعه‌ای رادیکوویچ و همکاران [۳۳] به بهینه سازی فناوری MAE جهت بازیابی ترکیبات فنولی از برگ‌های *Morus nigra* پرداختند. آنها گزارش دادند که می‌توان از فناوری MAE به صورت مطلوبی برای بازیابی ترکیبات فنولی (۲/۰۰ ±۷/۰) میلی گرم معادل گالیک اسید بر گرم) از برگ‌های گیاه مورد مطالعه استفاده نمود. آنها نتایج خود را ناشی از تخریب گسترده و شدید ساختار سلولی ناشی از تابش مایکروویو دانستند [۳۳]. موسوی و همکاران [۳۰] در مطالعه‌ای به مقایسه تاثیر روش‌های SC-CO<sub>2</sub> و سنتی بر محتوای ترکیبات زیست‌فعال فنولی به دست آمده از برگ گیاه فیجوا پرداختند. آنها نیز اشاره نمودند که مقادیر بالاتری از ترکیبات فنولی با استفاده از روش SC-CO<sub>2</sub> در مقایسه با روش سنتی قابل استحصال است. آنها این افزایش را ناشی از تخریب گسترده سلولی و حلalیت مناسب ترکیبات هدف در سیال فوق بحرانی بیان نمودند.

### ۳-۲- بررسی تاثیر روش‌های مورد مطالعه بر محتوای ترکیبات فنولی کل

ترکیبات فنولی از جمله ترکیبات زیست فعالی هستند که به طور گسترده در منابع گیاهی یافت می‌شوند. این ترکیبات زیست فعال که جزئی از متابولیت‌های ثانویه هستند با خشتش کردن رادیکال‌های آزاد سبب مهار یا به تأخیر انداختن واکنش اکسیداسیون می‌شوند [۳۱]. در مطالعه حاضر، محتوای فنول کل ترکیبات زیست‌فعال به دست آمده از دانه گیاه خارمریم تحت تاثیر روش‌های بازیابی SC-CO<sub>2</sub> و MAE مختلف مورد مطالعه شامل سوکسله، MAE و SC-CO<sub>2</sub> بررسی شد و نتایج در شکل ۴ آورده شده است. همان‌طور که مشاهده می‌شود به ترتیب کمترین و بیشترین محتوای فنول کل ترکیبات زیست‌فعال به دست آمده از دانه گیاه خارمریم مرتبط با روش‌های SC-CO<sub>2</sub> و CSE می‌باشد. نتایج حاصل از فناوری MAE به صورت معناداری بالاتر از مقادیر حاصل از روش CSE بود ( $p < 0.05$ ). این نتایج می‌تواند بیانگر تخریب حرارتی ترکیبات هدف در اثر استخراج با روش سوکسله باشد. ترکیبات فنولی از جمله ترکیبات زیست‌فعال ناپایدار حرارتی هستند که اعمال دماهای بالا برای مدت زمان طولانی می‌تواند سبب نابودی آنها شود [۷]. احمدی و همکاران [۳۲] در مطالعه‌ای مقدار

**Fig 4.** Effect of different extraction techniques of MAE, SC-CO<sub>2</sub> and CSE on TPC

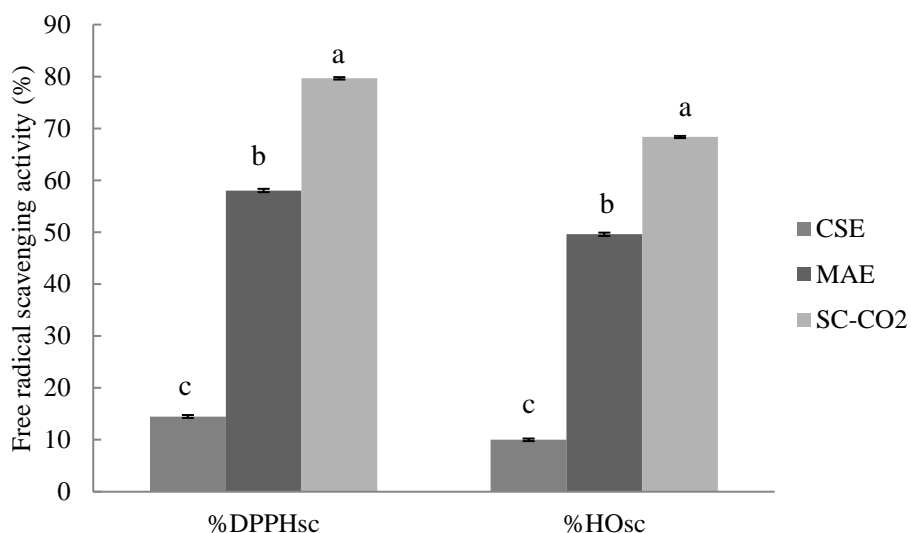
بررسی گردید و نتایج در شکل ۵ آورده شده است. اندازه‌گیری توانایی مهار DPPH یکی از روش‌های ساده، سریع و ارزان است که بطور گسترده مورد استفاده قرار می‌گیرد [۳۵]. با توجه به نتایج بدست آمده، بیشترین میزان فعالیت ضد رادیکالی ترکیبات زیست‌فعال بازیابی شده از دانه خارمریم اندازه‌گیری شده به روش SC-CO<sub>2</sub> DPPH به ترتیب مربوط به روش‌های SC-CO<sub>2</sub> (۷۹/۶۵±۰/۲۳)، MAE (۱۸/۵۸±۰/۱۸) درصد) و CSE (۲۰/۷۹±۰/۱۴) درصد) بود. روند مشابهی برای نتایج مهار رادیکال‌های آزاد HO مشاهده گردید. در این مطالعه نیز همان‌طور که پیشتر اشاره گردید استفاده از فناوری‌های MAE و SC-CO<sub>2</sub> منجر به استحصال ترکیباتی با ظرفیت ضد رادیکالی بالاتر در مقایسه با روش سنتی سوکسله گردید. این نتیجه می‌تواند ناشی از تخریب ساختار سلولی و در نتیجه نفوذ بهتر حلال و نهایتاً انتقال کارآمدتر ترکیبات هدف دارای فعالیت ضد رادیکالی از ساختار سلولی به محیط اطراف باشد. یک سیال زمانی فوق بحرانی می‌شود که دما و فشار بالاتر از نقطه بحرانی باشد. در شرایط فوق بحرانی، خواص سیال واسطه بین گازها و مایعات است، بنابراین استخراج ترکیبات را تسهیل می‌کند [۳۷]. به علاوه تخریب حرارتی ترکیبات زیست‌فعال در اثر اعمال دمای بالا طی مدت زمان طولانی منجر به کاهش ظرفیت ضد رادیکالی ترکیبات زیست‌فعال به دست آمده با استفاده از

### ۳-۳- بررسی تاثیر روش‌های مورد مطالعه بر فعالیت ضد رادیکالی

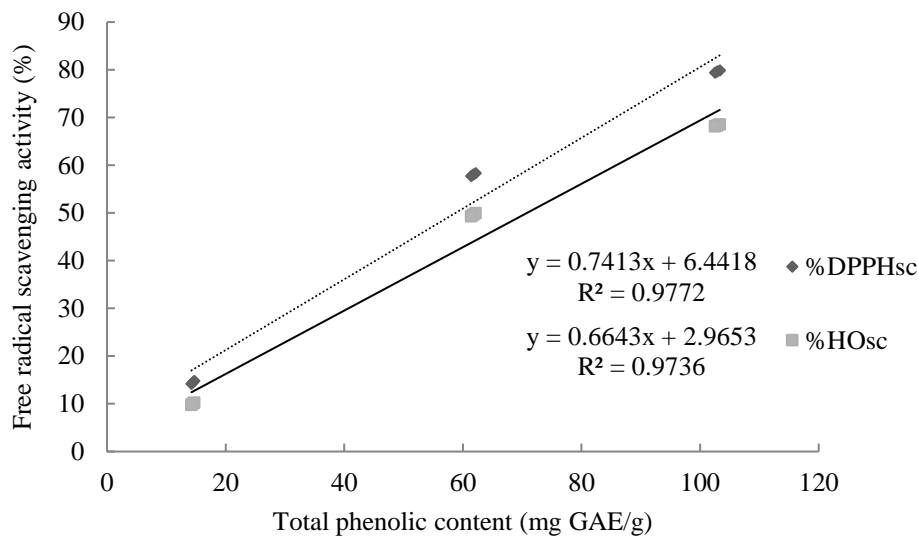
رادیکال‌های آزاد ترکیبات واسطه‌ای هستند که در طول فرآیند متابولیسم طبیعی بدن ایجاد می‌شوند و به طور مؤثر توسط سیستم ضد اکسایشی بدن خنثی می‌شوند. علاوه بر این رادیکال‌های آزاد در اثر استرس، بیماری، داروها و آلودگی نیز ایجاد می‌شوند و باعث آسیب به ساختارهای سلولی، DNA، پروتئین‌ها و لیپیدها شده و همچنین نقش مهمی در ایجاد سرطان، بیماری‌های قلبی عروقی، تصلب شرایین و اختلالات عصبی دارند [۳۴، ۳۵]. از آنجایی که هرگونه عدم تعادل در فرایند خنثی سازی رادیکال‌های آزاد باعث بروز تنفس اکسیداتیو می‌شود لذا کنترل این فرایند از اهمیت ویژه‌ای برخوردار است. در میان بسیاری از روش‌های به کاربرده شده برای کنترل اکسیداسیون، استفاده از ضد اکساینده‌ها مؤثرترین، مناسب‌ترین و به صرفه‌ترین روش می‌باشد [۳۶]. لذا در سال‌های اخیر تمايل محققان به شناسایی ترکیبات ضد اکسایش طبیعی و جایگزین کردن آنها به جای ترکیبات ضد اکسایش مصنوعی رو به افزایش می‌باشد [۲۸]. در مطالعه حاضر، ظرفیت ضد رادیکالی ترکیبات زیست‌فعال به دست آمده از دانه گیاه خارمریم تحت تاثیر روش‌های بازیابی مختلف شامل MAE، CSE و SC-CO<sub>2</sub> با استفاده از روش‌های مهار رادیکال‌های آزاد

خارمریم تحت تاثیر روش‌های مختلف بازیابی وجود دارد. نتایج مشابهی پیرامون همبستگی بین ظرفیت ضد رادیکالی و محتوای ترکیبات فنولی کل در دیگر مطالعات نیز آورده شده است [۳۹]. با توجه به نتایج حاضر می‌توان بیان نمود که دانه گیاه خارمریم دارای ظرفیت ضد رادیکالی قابل توجهی است که می‌تواند به عنوان یک منبع غنی ارزشمند برای کاربردهای آتی در صنایع مختلف غذایی، دارویی و آرایشی مد نظر قرار گیرد. همچنین روش‌های جدید MAE و SC-CO<sub>2</sub> روش‌های کارامدی برای بازیابی ترکیبات ارزشمند حیاتی از این دانه می‌باشند. در دیگر مطالعات از روش‌های MAE و SC-CO<sub>2</sub> برای استخراج ترکیبات زیست فعال به صورت موفقیت‌آمیز استفاده شده است [۴۰، ۴۱].

روش سوکسله شده است. موسوی و همکاران [۳۸] در مطالعه‌ای به بررسی ظرفیت ضد رادیکالی ترکیبات به دست آمده از برگ فیجوا با استفاده از فناوری %HO<sub>sc</sub> و %DPPH<sub>sc</sub> را به ترتیب معادل ۸۵/۱۶ و ۷۵/۶۶ درصد گزارش نمودند که به صورت معناداری بالاتر از فعالیت ضد رادیکالی ترکیبات بازیابی شده با استفاده از روش سنتی بود ( $P < 0.05$ ). در دیگر مطالعه نتایج مشابهی پیرامون تاثیر روش‌های MAE و سنتی بر استحصال ترکیبات زیست‌فعال از دانه خارمریم توسط ماگدالنا و همکاران [۱۷] گزارش شده است. طبق نتایج ارایه شده در شکل ۶، ارتباط مشخصی ( $R^2 > 0.9736$ ) بین نتایج میزان ترکیبات فنولی کل و فعالیت ضد رادیکالی ترکیبات به دست آمده از دانه گیاه



**Fig 5.** Effect of different extraction techniques of MAE, SC-CO<sub>2</sub> and CSE on free radical scavenging activity

**Fig 6.** Correlation between total phenolic content and free radical scavenging activity

مختلف بازیابی تأثیر قابل توجهی بر ترکیب اسیدهای چرب ایجاد نکرد. سامارام و همکاران [۴۴] در مطالعه‌ای به بررسی تأثیر روش‌های استخراج بر پروفایل اسید چرب ترکیبات زیستفعال بازیابی شده از دانه پاپایا پرداختند. اولئیک اسید (۵۰-۷۰/۷۴۰۰ درصد) به عنوان بیشترین اسید چرب دانه تعیین گردید و هم چنین آنها گزارش دادند که نوع روش بازیابی تأثیر معناداری بر ترکیب اسید چرب دانه ندارد [۴۴]. نتایج مشابهی نیز توسط سیکایر و همکاران [۴۵] پیرامون تأثیر روش استخراج بر اسیدهای چرب بازیابی شده از دانه کلزا گزارش شده است. به علاوه نتایج حاصل از تجزیه و تحلیل پروفایل اسید چرب نمونه‌های مورد مطالعه با نتایج موجود در بررسی منابع برای دانه آفتابگردان و لوییای سویا مقایسه گردید (جدول ۱). همان‌طور که مشاهده می‌شود دانه آفتابگردان و لوییای سویا غنی از اسید چرب غیراشباع لینولئیک اسید هستند که دانه گیاه خار مریم نیز سرشار از این ترکیب ارزشمند حیاتی MAE برای سلامت انسان می‌باشد. در نهایت فناوری‌های SC-CO<sub>2</sub> را با توجه به اثر غیر مخرب آنها بر ترکیب اسید چرب، مدیریت فرایند در جهت نیل به محصول غنی از ترکیبات ارزشمند حیاتی می‌توان به عنوان جایگزین‌های امیدوارکننده برای روش‌های مرسوم نظیر CSE در نظر گرفت.

#### ۴-۳- بررسی تأثیر روش‌های مورد مطالعه بر ترکیب اسید چرب

اسیدهای چرب موجود در ترکیبات زیستفعال به دست آمده از دانه گیاه خار مریم تحت تأثیر روش‌های بازیابی مختلف با استفاده از روش کروماتوگرافی گازی مجهر به آشکار ساز جرمی بررسی گردید و نتایج در جدول ۱ آورده شده است. بر اساس نتایج به دست آمده، اسیدهای چرب لینولئیک اسید (۱۸:۲ n-6) و اولئیک اسید (۱۸:۱ n-9) به عنوان اسیدهای چرب غالب شناسایی گردیدند. به عبارت دیگر، ترکیبات به دست آمده از این دانه غنی از اسیدهای چرب غیر اشباع هستند. امروزه اثرات سلامت‌بخش این دسته از اسیدهای چرب بر سلامت انسان در مطالعات مختلف نشان داده شده است [۴۲، ۴۳]. لذا یافتن منابع غنی از این ترکیبات از اهمیت به سازی برخوردار است. دانه گیاه خار مریم یکی از منابع غنی از این ترکیبات ارزشمند حیاتی است. در مطالعه‌ای، حسنلو و همکاران [۲۲] لینولئیک اسید را به عنوان اسید چرب غالب موجود در دانه گیاه خار مریم معرفی نمودند. اختلاف جزئی بین نتایج کمی آنها با نتایج به دست آمده در مطالعه حاضر مشاهده گردید. اختلافات موجود در داده‌ها می‌تواند ناشی از اختلاف در واریته، شرایط آب و هوایی و درجه رسیدگی باشد [۲۳]. بر اساس نتایج حاضر، استفاده از روش‌های

**able 1:** Fatty acid composition of bioactive compounds obtained using different extraction techniques and its comparison with soybean and sunflower

| Fatty acid (%)    | Plant            |                    |                 |                    |                           |                           |
|-------------------|------------------|--------------------|-----------------|--------------------|---------------------------|---------------------------|
|                   | Soybean*<br>]22[ | Sunflower*<br>]22[ | Reflux*<br>]22[ | <i>S. marianum</i> |                           |                           |
|                   |                  |                    |                 | Soxhlet            | MAE                       | SC-CO <sub>2</sub>        |
| Palmitic acid     | 16:0             | 11.23± 0.2         | 6.5± 0.0        | 8.25 ± 0.2         | 8.04 <sup>a</sup> ± 0.12  | 7.96 <sup>a</sup> ± 0.15  |
| Palmeotic acid    | 16:1             | 0.05± 0.2          | 0.04±0.3        | 0.07± 0.1          | -                         | -                         |
| Stearic acid      | 18:0             | 4.7± 0.2           | 4.07± 0.2       | 6.67± 0.1          | 6.72 <sup>a</sup> ± 0.11  | 6.69 <sup>a</sup> ± 0.13  |
| Oleic acid        | 18:1             | 22.52± 0.1         | 31.27± 0.0      | 31.58± 0.4         | 31.62 <sup>a</sup> ± 0.15 | 31.54 <sup>a</sup> ± 0.11 |
| Isomer oleic acid | Iso-C18:1        | 1.5± 0.3           | 0.75± 0.2       | 0.53± 0.2          | 0.58 <sup>a</sup> ± 0.15  | 0.60 <sup>a</sup> ± 0.10  |
| Linoleic acid     | 18:2             | 52.07± 0.2         | 56.04± 0.4      | 45.36± 0.2         | 45.20 <sup>a</sup> ± 0.13 | 45.14 <sup>a</sup> ± 0.16 |
| Linolenic acid    | 18:3             | 6.89± 0.5          | 0.27± 0.0       | 0.87± 0.3          | 0.94 <sup>a</sup> ± 0.11  | 0.87 <sup>a</sup> ± 0.13  |
| Arashidic acid    | 20:0             | 0.43± 0.2          | 0.31± 0.3       | 4.11± 0.2          | 3.80 <sup>a</sup> ± 0.14  | 3.75 <sup>a</sup> ± 0.17  |
| Eicozantoic acid  | 20:1             | 0.2±0.2            | 0.19± 0.4       | 0.088± 0.0         | -                         | -                         |
| Behenic acid      | 22:0             | 0.47± 0.0          | 0.75± 0.1       | 2.6± 0.0           | 2.65 <sup>a</sup> ± 0.10  | 2.60 <sup>a</sup> ± 0.10  |
|                   |                  |                    |                 |                    |                           | 2.66 <sup>a</sup> ± 0.0   |

\*Same lower letters in each row represents not significant difference ( $p>0.05$ )

حدود ۸۹ و ۵۰ درصد روش سوکسله تعیین گردید. لذا استفاده از روش‌های نوین سبب افزایش ویژگی‌های ضد رادیکالی و محتوای فنول کل ترکیبات بازیابی شده در مقایسه با روش سنتی سوکسله گردید. در ادامه با توجه به نتایج به دست آمده از گاز کروماتوگرافی متصل به آشکار ساز جرمی پیرامون شناسایی پروفایل اسید چرب می‌توان بیان نمود که نوع روش استخراج تأثیر منفی بر ترکیب اسید چرب ندارد.

#### ۴- نتیجه گیری کلی

در مطالعه حاضر، استفاده از روش‌های نوین  $\text{CO}_2$ -SC و MAE منجر به افزایش معنادار ( $p < 0.05$ ) ویژگی‌های ضد رادیکالی و محتوای فنول کل ترکیبات زیست‌فعال بازیابی شده از دانه گیاه خارمیریم در مقایسه با روش سنتی سوکسله گردید. هرچند که کارایی این روش‌های بازیابی به ترتیب در

#### ۵- منابع

- [1] Azmir, J., et al. 2013. Techniques for extraction of bioactive compounds from plant materials: A review. *Journal of Food Engineering*. 699: 426-436.
- [2] Qavami, N., et al. 2013. A review on pharmacological, cultivation and biotechnology aspects of Milk Thistle (*Silybum marianum* (L.) Gaertn.). *Journal of Medicinal Plants*. 12: 19- 37.
- [3] Bimakr, M., et al. 2012. Optimization of supercritical carbon dioxide extraction of bioactive flavonoid compounds from spearmint (*Mentha spicata* L.) leaves by using response surface methodology. *Food and Bioprocess Technology*. 5: 912-920.
- [4] Bimakr, M., et al. 2019. Modified supercritical carbon dioxide extraction of biologically active compounds from *Feijoa sellowiana* leaves. *International Journal of Food Engineering*. 20180342.
- [5] Bimakr, M., et al. 2013. Supercritical carbon dioxide extraction of seed oil from winter melon (*Benincasa hispida*) and its antioxidant activity and fatty acid composition. *Molecules*. 18: 997-1014.
- [6] Bashipour, F. and Ghoreishi, S.M. 2012. Experimental optimization of supercritical extraction of  $\beta$ -carotene from *Aloe barbadensis* Miller via genetic algorithm. *The Journal of Supercritical Fluids*. 72: 312-319.
- [7] Bimakr, M., et al. 2011. Comparison of different extraction methods for the extraction of major bioactive flavonoid compounds from spearmint (*Mentha spicata* L.) leaves. *Food and Bioproducts Processing*. 89: 67-72.
- [8] Liza, M.S. et al. (2010). Supercritical carbon dioxide extraction of bioactive flavonoid from *Strobilanthes crispus* (Pecah Kaca). *Food and Bioproducts Processing*. 88: 319-326.
- [9] Gerard, D. and May, P. 2002. Herb and spice carbon dioxide extracts-versatile, safe ingredients for premium food and health food. *Food Technology*. 2: 1-5.
- [10] Ghoreishi, S., Hedayati, A. and Kordnejad, M. 2016. Micronization of chitosan via rapid expansion of supercritical solution. *Journal of Supercritical Fluids*. 111:162-70.
- [11] Argun, M.E. et al. 2022. Recovery of valuable compounds from orange processing wastes using supercritical carbon dioxide extraction. *Journal of Cleaner Production*. 375: 134169.
- [12] Sarfarazi, M., et al., (2020). Evaluation of microwave-assisted extraction technology for separation of bioactive components of saffron (*Crocus sativus* L.). *Industrial Crops and Products*. 145: 111978.
- [13] Mellinas, A., Jiménez, A. and Garrigós, M. 2020. Optimization of microwave-assisted extraction of cocoa bean shell waste and evaluation of its antioxidant, physicochemical and functional properties. *LWT*. 127: 109361.
- [14] Araújo, R.G., et al. (2020). Process optimization of microwave-assisted extraction of bioactive molecules from avocado seeds. *Industrial Crops and Products*. 154: 112623.
- [15] Pengdee, C., Sritularak, B. and Putalun, W. 2020. Optimization of microwave-assisted extraction of phenolic compounds in *Dendrobium formosum* Roxb. ex Lindl. and glucose uptake activity. *South African Journal of Botany*. 132: 423-431.
- [16] Chan, C.H., et al. 2011. Microwave-assisted extractions of active ingredients from plants. *Journal of Chromatography A*. 16:6213-6225.
- [17] Magdalena, M., Lukasiewicz, M. and Jakubowski, P. 2015. Microwave-assisted extraction of bioactive compounds from seeds of milk thistle, black cumin and coriander. b005. 10.3390/ecsoc-19-b005.
- [18] Poodi, Y., et al. 2018. Intensification of bioactive compounds extraction from *Feijoa* (*Feijoa sellowiana*) leaves using ultrasonic waves. *Food Bioproducts Processing*. 108: 37-50.
- [19] Ma, J.S., et al. 2020. Extraction, characterization and antioxidant activity of polysaccharide from *Pouteria campechiana* seed. *Carbohydrate Polymers*. 229: 115409.
- [20] Ismail, A., Marjan, Z.M. and Foong, C.W. 2004. Total antioxidant activity and phenolic content in selected vegetables. *Food chemistry*. 87: 581-586.
- [21] Bimakr, M., et al. 2016. Characterization of valuable compounds from winter

- melon (*Benincasa hispida* (Thunb.) Cogn.) seeds using supercritical carbon dioxide extraction combined with pressure swing technique. *Food and Bioprocess Technology*. 9: 396-406.
- [22] Hasanoloo, T., et al. (2008). Determination of tocopherols and fatty acids in seeds of *Silybum marianum* (L.) Gaerth. *Journal of Medicinal Plants*. 7: 69-76.
- [23] Frum, A. 2017. HPLC determination of polyphenols from L. Flowers. *Acta Universitatis Cibiniensis. Series E: Food Technology*. 2:197-101.
- [24] Spinei, M. and Oroian ,M. 2023. Structural, functional and physicochemical properties of pectin from grape pomace as affected by different extraction technique. *International Journal of Biological Macromolecule*. 224: 739-753.
- [25] Kant, R. and Kumar ,A. 2022. Review on essential oil extraction from aromatic and medicinal plants: Techniques, performance and economic analysis. *Sustainable Chemistry and Pharmacy*. 30: 2352-5541.
- [26] Huschek, G., et al. 2022. Characterization and optimization of microwave-assisted extraction of B-phycoerythrin from *Porphyridium purpureum* using response surface methodology and Doehlert design. *Bioresource Technology Reports*. 19: 101212.
- [27] Boyapati, T., Rana, S.S. and Ghosh, P. 2022. Microwave-assisted extraction of dragon fruit seed oil: Fatty acid profile and functional properties. *Journal of the Saudi Society of Agricultural Sciences*. ISSN 1658-077X, In press.
- [28] Roshani Neshat, R., Bimakr, M. and Ganjloo, A. 2022. Effects of Zedo gum edible coating enriched with microwave-agitated bed extracted bioactive compounds from lemon verbena leaves on oxidative stability of *Oncorhynchus mykiss*. *Food Measurements and Characterization*. 16: 4388-4401.
- [29] Rezazadeh, B., et al. 2008. Comparison of super critical fluid extraction and hydrodistillation methods on Lavander's essential oil composition and yield. *Journal of Medicinal Plants*. 7: 63-68.
- [30] Mousavi, M., et al. 2018. Supercritical carbon dioxide extraction of bioactive compounds from feijoa (*Feijoa sellowiana*) leaves. *Nutrition and Food Sciences Research*. 5: 15-23.
- [31] Garcia-Salas, P., et al. 2010. Phenolic compound extraction systems for fruit and vegetable samples. *Molecules*. 15: 8813-8826.
- [32] Mhamdi, B., et al. 2016. Fatty acids, essential oil and phenolics composition of *Silybum marianum* seeds and their antioxidant activities. *Pakistan Journal of Pharmaceutical Sciences*. 29: 951-959.
- [33] Radojković, M., et al. 2017. Microwave-assisted extraction of phenolic compounds from *Morus nigra* leaves: optimization and characterization of the antioxidant activity and phenolic composition. *Journal of Chemical Technology and Biotechnology*. 93: 85-93.
- [34] Lobo, V., et al. 2010. Free radicals, antioxidants and functional foods: Impact on human health. *Pharmacognosy Reviews*. 4: 118-126.
- [35] Noroozi, F., et al. 2021. A short time bioactive compounds extraction from *Cucurbita pepo* seed using continuous ultrasound-assisted extraction. *Journal of Food Measurement and Characterization*. 15: 2135-2145.
- [36] Li, A., et al. 2011. Antioxidant and immunoregulatory activity of different polysaccharide fractions from tuber of *Ophiopogon japonicus*. *Carbohydrate Polymers*. 86 :1273-1280.
- [37] Sinemobong, O. Essien, B.Y. and Baroutian ,S. 2020. Recent advances in subcritical water and supercritical carbon dioxide extraction of bioactive compounds from plant materials. *Trends in Food Science and Technology*. 97: 156-169.
- [38] Mousavi, M.S., et al. 2019. Modified supercritical carbon dioxide extraction of biologically active compounds from *Feijoa Sellowiana* leaves. *International Journal of Food Engineering*. 15: 20180342.
- [39] Mojarradi, F., Bimakr, M. and Ganjloo, A. 2021. Feasibility of hydroethanolic solvent system for bioactive compounds recovery from aerial parts of *Silybum marianum* and kinetics modeling. *Journal of Human Environment and Health Promotion*. 7: 129-137.
- [40] Kaur, S., and Ubeyitogullari, A. 2023. Extraction of phenolic compounds from rice husk via ethanol-water-modified supercritical carbon dioxide , *Heliyon* ,9: e14196.
- [41] Cheng, M., et al. 2023. Comparison of microwave, ultrasound and ultrasound-microwave assisted solvent extraction methods on phenolic profile and antioxidant activity of extracts from jackfruit (*Artocarpus heterophyllus* Lam.) pulp, *LWT*, 173: 114395.
- [42] Mao, R., et al. 2022. An efficient and sensitive method on the identification of unsaturated fatty acids in biosamples: Total lipid extract from bovine liver as a case study. *Journal of Chromatography A*. 1675: 463176.
- [43] de Souza, R.J., et al. 2015. Intake of saturated and trans unsaturated fatty acids and risk of all-cause mortality, cardiovascular disease, and type 2 diabetes: systematic review and meta-analysis of observational studies. *BMJ Clinical Research*. 351: 3978.
- [44] Samaram, S., et al. 2013. Ultrasound-assisted extraction (UAE) and solvent extraction of papaya seed oil: yield, fatty acid composition and triacylglycerol profile .*Molecules*. 18: 12474-12487.
- [45] Sicaire, A.G., et al. 2016. Ultrasound induced green solvent extraction of oil from oleaginous seeds. *Ultrasonics Sonochemistry*. 31: 319-329.



## Effect of Supercritical CO<sub>2</sub> and Microwave-assisted Extraction Methods on Bioactive Compounds Extraction from *Silybum marianum* Seed

Mohadese Yousefi<sup>1</sup>, Mandana Bimakr <sup>2\*</sup>, Seyyed Mohammad Ghoreishi<sup>3</sup>, Ali Ganjloo<sup>2</sup>

1-MSc of Food Technology, Department of Food Science and Engineering, Faculty of Agriculture,  
University of Zanjan, Zanjan, Iran

2-Associate Professor, Department of Food Science and Engineering, Faculty of Agriculture,  
University of Zanjan, Zanjan, Iran

3-Professor, Department of Chemical Engineering, Faculty of Engineering, Isfahan University of  
Technology, Iran

### ARTICLE INFO

#### Article History:

Received:2023/2/9

Accepted: 2024/1/20

#### Keywords:

*Silybum marianum*,  
Bioactive compounds,  
Supercritical carbon dioxide extraction,  
Microwave-assisted extraction.

**DOI:** [10.22034/FSCT.21.148.30](https://doi.org/10.22034/FSCT.21.148.30).

\*Corresponding Author E-Mail:  
[mandana.bimakr@znu.ac.ir](mailto:mandana.bimakr@znu.ac.ir)

### ABSTRACT

In the current study, the effect of different new extraction methods including supercritical carbon dioxide extraction (SC-CO<sub>2</sub>), microwave-assisted extraction (MAE), and also conventional Soxhlet extraction (CSE) were investigated on bioactive compounds recovery from *Silybum marianum* seed. The crude extraction yield ( $22.40 \pm 0.15\%$ ) was obtained using CSE, while the efficiency of SC-CO<sub>2</sub> and MAE were about 89 and 50% of those obtained using CSE. The highest free radical scavenging activity in terms of DPPH and HO radicals was obtained in an extract obtained using SC-CO<sub>2</sub>. From the TPC analysis, the highest and lowest value was determined in extracts obtained using SC-CO<sub>2</sub> ( $102.93 \pm 0.14$  mg GAE/g) and CSE ( $14.50 \pm 0.18$  mg GAE/g), respectively. Fatty acid composition was analyzed using Gas Chromatography–Mass Spectrometry. Linoleic and oleic acids were determined as the main fatty acids. Finally, it can be concluded that *S. marianum* seed is a potential source of bioactive compounds and new extraction techniques of SC-CO<sub>2</sub> and MAE could be suggested as promising methods to substitute conventional method for successful recovery of bioactive compounds.